

Определение коэффициента внутреннего трения жидкости по методу Стокса.

Цель работы: ознакомиться с понятием внутреннего трения и с теорией метода; измерить коэффициент вязкости контрольного масла.

Приборы и принадлежности: стеклянный цилиндр на подставке; микрометр; секундомер; миллиметровая линейка; шарики.

Теория:

Понятие о внутреннем трении.

Всегда движущийся слой при движении жидкости (или газа) возникают силы трения. Во стороны слоя, движущегося более быстро, на слой, движущийся медленнее, на более быстрый слой действует задерживающая сила. Эти силы, называемые силами внутреннего трения, направлены по касательной к поверхности слоев. Возникновение этих сил объясняется тем, что слой, движущийся с большей скоростью, обменивается молекулами. Молекулы из более быстрого слоя, переходя в более медленный слой, передают ему свой импульс, вследствие чего медленному слою начинает двигаться быстрее.

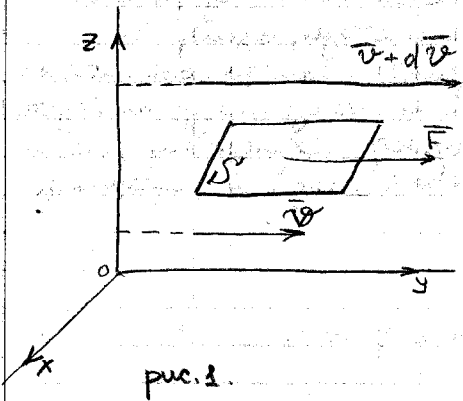
Молекулы, переходящие из медленного слоя в более быстрый слой, получают там некоторый импульс, вызывая его торможение.

Возникновение сил внутреннего трения в жидкостях объясняется, главным образом, наличием зрительных сил сцепления между молекулами жидкости.

Внутри установленное (ламинарное) течение жидкости (или газа) сила внутреннего трения F выражается формулой

$$F = -\eta \frac{dv}{dz} S, \quad (1)$$

где S - площадь прикосновения слоев; $\frac{dv}{dz}$ - изменение скорости движения слоев на единицу длины z в направлении, перпендикулярном к направлению их движения - градиент скорости (рис. 1); η - коэф. внутреннего трения или коэф. динамической вязкости. Он численно



равен силе внутреннего трения, кот. действует на единицу площади поверхности соприкосновения слоев, движущихся друг относительно друга с градиентом скорости, равным единице. Единица градиента скорости как в системе СИ, так и в системе СГС равна $\frac{1}{с}$. Единица коэф. динамической вязкости в системе СИ - $\frac{Н \cdot с}{м^2}$. Она равна вязкости

токой ртути, в кот. на $1 м^2$ поверхности слоев, движущихся друг относительно друга с градиентом скорости $\frac{1}{с}$, действует сила, равная $1 Н$.

Единица коэф. динамической вязкости в системе СГС - $\frac{дин \cdot с}{см^2} = 1 П = 0,1 \frac{г \cdot с}{см^2}$. Часто применяется коэф. кинематической вязкости $\nu = \frac{\eta}{\rho}$, где ρ - плотность вещества. В системе СГС его единицей измерения является $\frac{1}{с}$ (1 СТ) = $1 см^2 \cdot с^{-1}$, в системе СИ - $1 м^2 \cdot с^{-1}$. $1 СТ = 10^{-6} м^2 \cdot с^{-1}$.

С ростом скорости движения жидкости или газа увеличивается градиент скорости и сила внутреннего трения. При больших скоростях движение тел в жидкости или газа может стать турбулентным (образуются вихри) и формула (1) неприменима. Явление внутреннего трения имеет большое практическое значение. Смазка трущихся поверхностей деталей машин позволяет заменить сухое трение значительно меньшим внутренним трением в жидкости и значительно уменьшает износ деталей, тепловые потери энергии.

Существует множество способов определения вязкости жидкостей и газов.

Метод Стокса. На тело, движущееся в какой-либо жидкой среде, действует сила трения, которая имеет место не

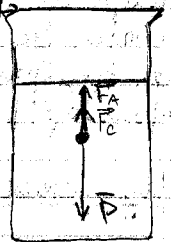
только между телом и жидкостью, а и между слоями жидкости самой, непосредственно прилегающей к поверхности тела, принимает к ней и движется вместе с телом. Это явление при движении увеличивает сопротивление слоев жидкости. Относительное движение слоев жидкости при небольших скоростях движения тела является безвихревым, ламинарным и зависит от вязкости жидкости.

Вотк, рассмотрим движение шарика радиуса r с небольшой скоростью v в безвихревой вязкой среде, найдя при этом формулу для силы трения, испытываемой шариком:

$$F = 6 \pi \eta r v. \quad (2)$$

Рассмотрим падение небольшого шарика под действием силы тяжести в вязкой жидкости (рис. 2). При этом на шарик действуют три силы:

1. Сила тяжести $P = mg = \rho_m g \cdot V$. $P = \frac{4}{3} \pi r^3 \rho_m g$, где $V = \frac{4}{3} \pi r^3$ - объем, ρ_m - плотность шарика.
2. Выталкивающая сила Архимеда: $F_A = \rho_n V g = \frac{4}{3} \pi r^3 \rho_n g$ (ρ_n - плотность жидкости).
3. Сила внутреннего трения $F_c = 6 \pi \eta r v$, по 2 закону Ньютона $P - F_A - F_c = ma$ или $\frac{4}{3} \pi r^3 \rho_m g - \frac{4}{3} \pi r^3 \rho_n g - 6 \pi \eta r v = ma$, где a - ускорение, m - масса шарика.



В начале движения скорость шарика возрастает и $a = \frac{dv}{dt} > 0$. Но с увеличением скорости движения шарика возрастает сила внутреннего трения $F_c = 6 \pi \eta r v$ и наступает момент, когда сила тяжести уравновешивается суммой сил Архимеда и Стокса:

$$P = F_A + F_c$$

или

$$\frac{4}{3} \pi r^3 \rho_m g = \frac{4}{3} \pi r^3 \rho_n g + 6 \pi \eta r v. \quad (4)$$

С этого момента движение шарика становится равномерным ($a=0$) со скоростью $v = v_0$. Решая уравнение (4) относительно η , найдем для коэф. внутреннего трения выражение

$$h = \frac{2}{g} g r^2 \frac{p_{\text{ш}} - p_{\text{м}}}{\rho} \quad (5)$$

Формула (5) справедлива для движения шарика в безграничной среде. При практическом осуществлении опыта по изучению движения шарика оботого берется цилиндрический сосуд. Учет внешнего оттока, газа сосуда и верхней поверхности жидкости приводит к следующему выражению для поправок вязкости:

$$h = \frac{2}{g} g r^2 \cdot \frac{p_{\text{ш}} - p_{\text{м}}}{\rho \cdot (1 + 34 \frac{r}{R}) (1 + 1,33 \frac{r}{h})} \quad (6)$$

где R — радиус сосуда, h — высота столбика жидкости, r — радиус шарика, $r \ll R$, $r \ll h$, то можно и высоту столбика жидкости ($r \ll h$), то правки в знаменателе выражения (6) можно считать пренебречь.

Метод Стокса обычно применяется для измерения вязкости. Внутренне трение сравнительно вязких жидкостей (например, масел).

Измерение и обработка результатов измерения:

Шарик ка	d, см	t, с	ℓ , см	$t^\circ\text{C}$	$p_{\text{ш}}$	$p_{\text{м}}$	$h_{\text{полн}}$, мм	h , рад
1	2	3	4	5	6	7	8	9
I	0,272							
	0,253							
	0,286	4,27	17,2	25	10,96	0,9564	10,003	~7
II	0,278							
	0,241							
	0,233	5,10	17,2	25	10,96	0,9564	8,642	~7
III	0,240							
	0,247							
	0,251	5,12	17,2	25	10,96	0,9564	9,652	~7
dexp	0,272							
	0,231							
	0,244							

$$h_I = \frac{1}{18} g d^2 \frac{(p_{\text{ш}} - p_{\text{м}}) t}{\rho} = \frac{1}{18} \cdot 980 \cdot (0,272)^2 \cdot \frac{(10,96 - 0,9564) \cdot 4,27}{17,2} = 10,003$$

$$h_{II} = \frac{1}{18} \cdot 980 \cdot (0,231333)^2 \cdot \frac{10,0036 \cdot 5,1}{17,2} = 8,642$$

$$h_{III} = \frac{1}{18} \cdot 980 \cdot (0,244)^2 \cdot \frac{10,0036 \cdot 5,12}{17,2} = 9,652$$

Оценка погрешности определения вязкости:

$$a) \bar{h} = 9,432$$

$$b) \Delta h_i = h_i - \bar{h}$$

$$\Delta h_I = 9,432 - 10,003 = -0,571$$

$$\Delta h_{II} = 9,432 - 8,642 = 0,79$$

$$\Delta h_{III} = 9,432 - 9,652 = -0,22$$

$$b) \Delta S_{\bar{h}} = \sqrt{\frac{\sum_{i=1}^n (\Delta h_i)^2}{n(n-1)}} = \sqrt{\frac{(-0,571)^2 + (0,79)^2 + (-0,22)^2}{3 \cdot 2}} = \sqrt{\frac{0,326041 + 0,6241 + 0,484}{6}} = \sqrt{0,2390235} = 0,489$$

$$2) \delta = 0,95$$

$$g) t_k = 4,3$$

$$e) \Delta h = t_k \cdot \Delta S_{\bar{h}} = 4,3 \cdot 0,489 = 2,103$$

$$m) h = \bar{h} \pm \Delta h = 9,432 \pm 2,103; \delta = 0,95$$

$$\varepsilon = \frac{\Delta h}{\bar{h}} \cdot 100\% = \frac{2,103}{9,432} \cdot 100\% = 22,296\%$$

277 Лабораторная работа №3.

Изучение колебаний в связанных системах.

Цель работы: получение биений в связанных маятниках и представление их через гармонические моды колебаний связанной системы.

Приборы и принадлежности: установка ФПМ-13

Теория:

В реальных системах тело нередко совершает сложное движение, складывающееся из нескольких колебаний. Скорее интерес представляет случай, когда два складывающихся гармонических колебания одинаково направлены и мало отличаются по частоте. Результирующее движение при этих условиях будет представлять биения.

Биение — периодическое изменение амплитуды результирующего колебания, возникающее при сложении двух гармонических колебаний одинакового направления с близкими частотами. Получим уравнение такого процесса.

Если амплитуда A обоих колебаний одинакова, частота первого колебания ω , а второго $\omega + \Delta\omega$, то уравнения колебаний будут иметь вид:

$$x_1 = A \cos \omega t$$

$$x_2 = A \cos(\omega + \Delta\omega) t. \quad (1)$$

Используя эти уравнения и применяя формулу для суммы косинусов, получим

$$x = x_1 + x_2 = \left(2A \cos \frac{\Delta\omega}{2} t \right) \cos \left(\omega + \frac{\Delta\omega}{2} \right) t. \quad (2)$$

Т.к. в случае биений $\Delta\omega \ll \omega$, то результирующее уравнение примет вид

$$x = \left(2A \cos \frac{\Delta\omega}{2} t \right) \cos \omega t \quad (3)$$

Такое уравнение описывает гармоническое колебание со средней частотой ω и амплитудой $2A \cos \frac{\Delta\omega}{2} t$, меняющейся по некоторому периодическому закону (рис. 1а)

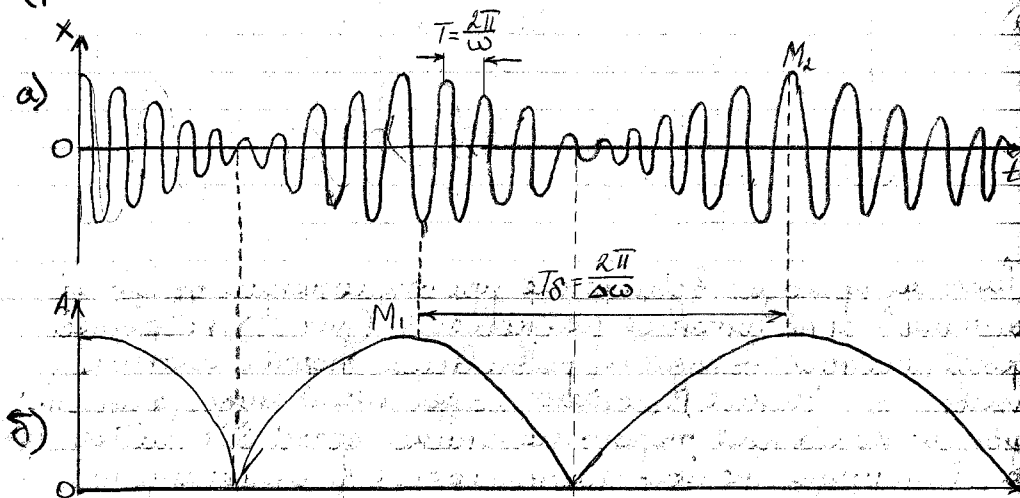


рис.1

Графически найдем функцию.

По определению амплитуда всегда положительна и величина, поэтому в формуле (3) следует расставить модуль, т.е. $\left| 2A \cos \frac{\Delta\omega}{2} t \right|$.

Известно, что период изменения $|\cos \varphi|$ в два раза меньше периода функции $\cos \varphi$. Соответственно, частота изменения $|\cos \varphi|$ в два раза больше частоты изменения $\cos \varphi$. Таким образом, амплитуда функции (3) $\left| 2A \cos \frac{\Delta\omega}{2} t \right|$ меняется во времени не с частотой $\frac{\Delta\omega}{2}$, а с частотой $\Delta\omega$ (рис. 1б).

Отметим, что первый множитель в функции (3) периодически меняет знак, поэтому он определяет не только амплитуду, но и фазу колебания. Последнее видно из рис. 1а, где точки M_1 и M_2 , соответствующие соседним максимумам амплитуды, имеют противоположные знаки.

Характерную картину биений можно наблюдать в результате сложения колебаний с близкими частотами в связанной

системах. Примером такой системы являются два маятника, закрепленные на общей оси и связанные между собой с помощью пружины (рис. 2а).

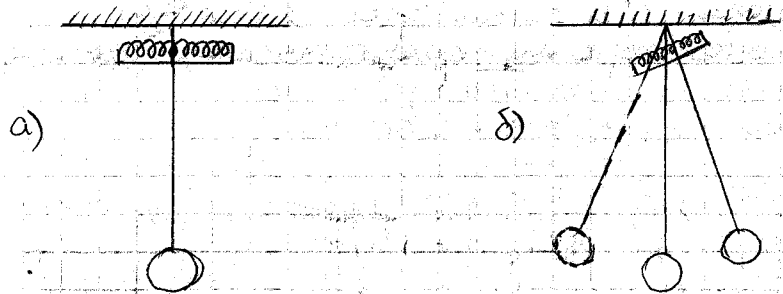


рис. 2

Система приходит в движение при отклонении одного из маятников от положения равновесия (рис. 2б). Колеблется, первый маятник выводит из равновесия второй маятник и вызывает его колебания. В момент, когда амплитуда результирующего колебания второго маятника достигает максимума, амплитуда первого уменьшается до минимума. Затем колебание второго маятника вызывает колебание первого, и процесс периодически повторяется. Амплитуда отклонения маятников от положения равновесия в такой системе по очереди изменяется от нуля до максимума, энергия периодически перекачивается из одного маятника в другой, и обратно. Термин бийений то может быть определен как промежуток времени между двумя очередными максимальными отклонениями маятника от положения равновесия, либо между двумя последовательными нулевыми отклонениями.

Описание установки:

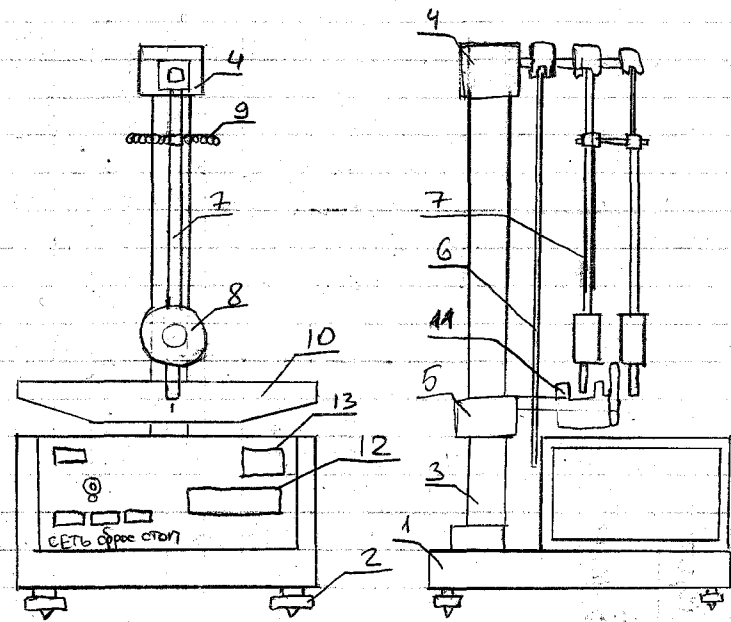


рис. 3

Общий вид установки представлен на рис. 3. Основание 1 оснащено регулировочными винтами 2, обеспечивающими выравнивание прибора. Возвратным закреплен маятник 3. На маятнике закреплена втулка 4 и кронштейн 5. На стержне втулки 4 находятся три подвески, на которых посредством шариковых подшипников надеты два маятника и стержень 6. Маятник состоит из тонкого стержня 7 и переменного груза 8. Маятники соединены друг с другом при помощи пружины 9, закрепленной в специальной С-образной обойме.

К кронштейну 5 прикреплен указатель 11, который при помощи кат. определяет амплитуду колебаний маятников, фотоэлектрический датчик 11, световой поток которого пересекает стержень одного из совершающих колебание соединенных маятников.

На лицевой панели блока управления и измерений находятся манипуляционные элементы: "СЕТЬ", "СБРОС", "СТОП".

Результат:

i	T _{0i} , °C	N	T _{0i} , °C aver	T, °C aver	t _{0i} , °C	T _{0i} , °C ⁻¹	t _{2i} , °C	V _{2i} , °C ⁻¹	$\bar{V} = \frac{V_1 + V_2}{2}$ aver	$\bar{V}_0 = \bar{V}_1 - \bar{V}_2$ aver
1	12,431	13	0,08	1,086	11,923		10,633			
2	12,429				11,425	1,048	10,694	1,026	1,087	0,078
3	12,422				11,502		10,655			
	$\bar{T}_0 = 12,427$				$\bar{t}_0 = 11,947$		$\bar{t}_2 = 10,661$			

$$\bar{T}_0 = \frac{T_{01} + T_{02} + T_{03}}{3} = 12,427$$

$$V_0 = \frac{P}{T_0} = 0,08$$

$$\bar{V} = \frac{N + \frac{1}{2}}{T_0} = \frac{13 + \frac{1}{2}}{12,427} = 1,086$$

$$V_1 = \frac{P_1}{T_{01}} = 1,048$$

$$V_2 = \frac{P_2}{T_{02}} = 1,126$$

$$\bar{V} = \frac{V_1 + V_2}{2} = \frac{1,048 + 1,126}{2} = 1,087$$

$$\bar{V}_0 = \bar{V}_2 - \bar{V}_1 = 1,126 - 1,048 = 0,078$$

физ

Лабораторная работа 104.

Изучение законов динамики и кинематики поступательного движения на машине Атвуда.

Цель работы: проверка второго закона Ньютона и уравнений равноускоренного прямолинейного движения.

Оборудование и принадлежности: автоматизированная машина Атвуда с грузами, скамеечный фотозаписывающий датчик, измеритель грузов, пусковой устройством, электронным секундомером, набор дебалансных грузов.

Теория:

Механика — наука о простейших формах движения и силах, вызывающих это движение.

Мех. движение называется изменение с течением времени взаимного положения тел или частей тела друг относительно друга.

Механика делится на три раздела: кинематику, динамику и статику.

Кинематика — это раздел физики, кот изучает движение тел вне зависимости от причин, вызывающих это движение.

Динамика изучает з-ны движения тел и причины, кот. вызывают или изменяют это движение.

Статика изучает з-ны равновесия системы тел. Различают три вида мех. движения тел — поступательное, вращательное и колебательное.

Поступательное движение — движение, при кот. в любой момент времени все частицы тела движутся по параллельным своим первоначальным положениям. При вращательном движении все точки тела движутся по окружностям, центры которых лежат на одной и той же прямой, называемой осью вращения. Колебательным движением называется процесс, при котором система многократно отклоняется от своего состояния равновесия.

Каждой точке в любой момент времени.

Динамика — раздел механики, кот изучает движение тел в связи с причинами, вызывающими или изменяющими это движение. В основе динамики лежат три закона Исаака Ньютона.

Первый закон Ньютона: всякая материальная точка (тело) сохраняет состояние покоя или равномерного прямолинейного движения до тех пор, пока взаимодействие со стороны других тел не заставит ее изменить это состояние. Первый закон Ньютона можно записать так: закон инерции.

Второй закон Ньютона: ускорение a , приобретаемое телом под действием силы F , прямо пропорционально этой силе и обратно пропорционально массе и направлено в сторону действия силы.

$$\vec{F} = m \vec{a}$$

Второй закон Ньютона можно переписать в виде

$$\vec{F} = \vec{a} m = m \frac{d\vec{v}}{dt}$$

Третий закон Ньютона (закон действия и противодействия): два взаимодействующих тела действуют друг на друга с силами равными по величине и противоположными по направлению.

$$\vec{F}_1 = -\vec{F}_2$$

Решение:

Упражнение I. Проверка второго з-на Ньютона.

Состояние груза:	$S, \text{м}$	$\Delta m, \text{кг}$	$\Delta mg, \text{Н}$	$t, \text{с}$	$a = \frac{2S}{t^2}, \frac{\text{м}}{\text{с}^2}$	$F_p = H$
I) $\Delta m_1 = (m_1 + m_2) - m_3$	0,3	0,00588	0,057624	$t_1 = 1,387$	0,337	
				$t_2 = 1,347$		
				$t_3 = 1,331$		
				$\bar{t} = 1,335$		
II) $\Delta m_2 = (m_1 + m_3) - m_2$	0,3	0,00804	0,078792	$t_1 = 1,122$	0,469	
				$t_2 = 1,120$		
				$t_3 = 1,151$		
				$\bar{t} = 1,131$		
III) $\Delta m_3 = (m_2 + m_3) - m_1$		0,01162	0,113876	$t_1 = 0,957$	0,662	
				$t_2 = 0,951$		
				$t_3 = 0,947$		
				$\bar{t} = 0,952$		
IV) $\Delta m_4 = m_1 + m_2 + m_3$		0,02554	0,250292	$t_1 = 0,627$	1,489	
				$t_2 = 0,645$		
				$t_3 = 0,632$		
				$\bar{t} = 0,635$		

$$m_1 = 6,96 \text{ г}$$

$$m_2 = 8,75 \text{ г}$$

$$m_3 = 9,83 \text{ г}$$

$$\Delta m_1 = (0,00696 + 0,00875) - 0,00983 = 0,00588 \text{ г}$$

$$\Delta m_2 = (0,00696 + 0,00983) - 0,00875 = 0,00804 \text{ г}$$

$$\Delta m_3 = (0,00875 + 0,00983) - 0,00696 = 0,01162 \text{ г}$$

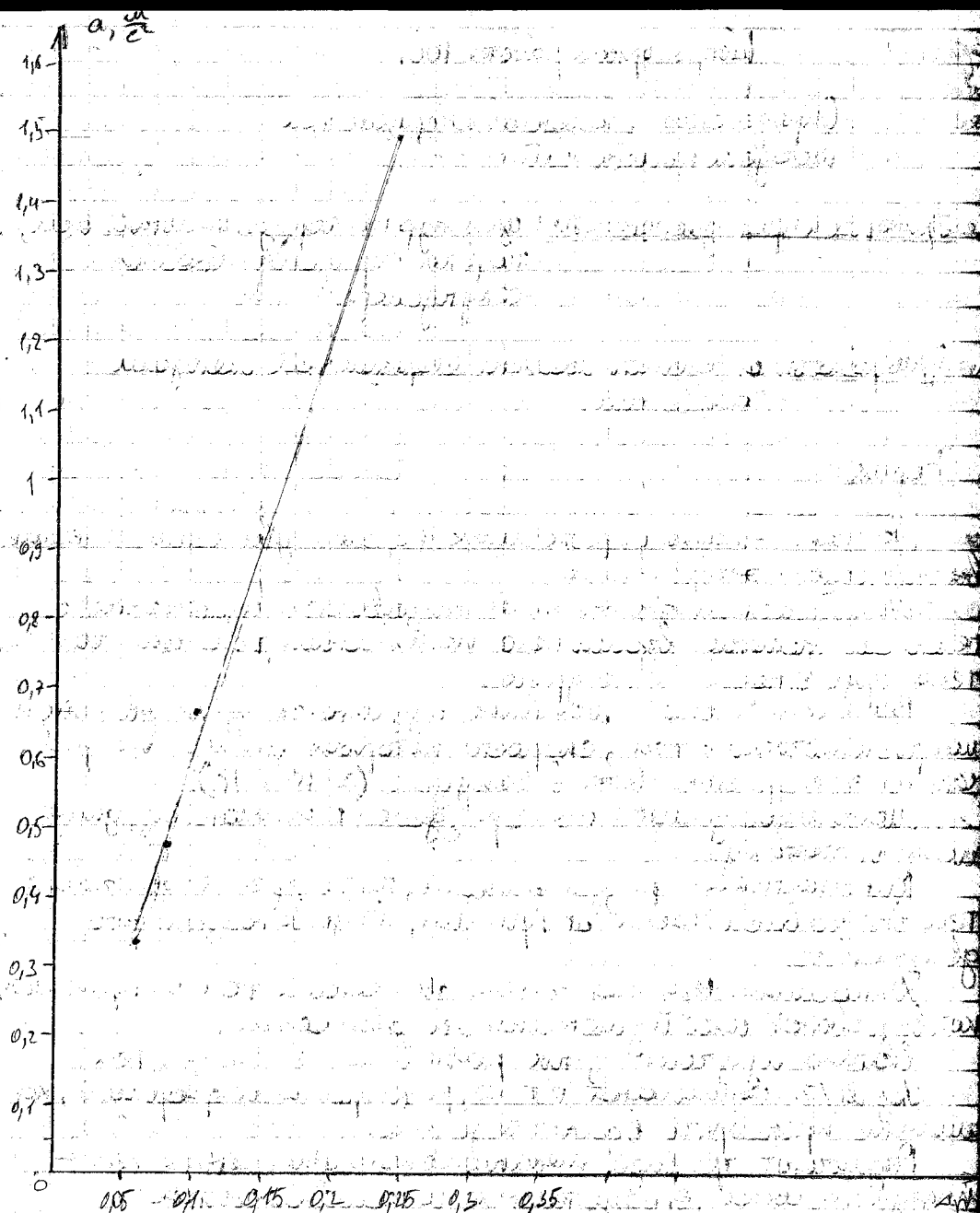
$$\Delta m_4 = 0,00696 + 0,00875 + 0,00983 = 0,02554 \text{ г}$$

$$a_1 = \frac{2 \cdot 0,3}{(1,335)^2} = \frac{0,6}{1,78225} = 0,337 \frac{\text{м}}{\text{с}^2}$$

$$a_2 = \frac{0,6}{(1,131)^2} = \frac{0,6}{1,279161} = 0,469 \frac{\text{м}}{\text{с}^2}$$

$$a_3 = \frac{0,6}{(0,952)^2} = \frac{0,6}{0,906304} = 0,662$$

$$a_4 = \frac{0,6}{0,403225} = 1,489$$



Физ

Лабораторная работа 106.

Определение моментов инерции тел
методом колебаний.

Прибор и принадлежности: цилиндр на горизонтальной оси,
шар на горизонтальной оси,
секундомер.

Цель работы: определить момент инерции тел методом
колебаний.

Теория:

Механика — наука о простейших формах движения и сил, вызывающих это движение.

Механическим движением называется изменение с течением времени взаимного положения тел или частей тела друг относительно друга.

В классической механике изучаются з-ное движение макроскопических тел, скорости которых малы по сравнению со скоростью света в вакууме ($3 \cdot 10^8$ м/с).

Механика делится на 3 раздела: кинематику, динамику и статику.

Кинематика — раздел физики, который изучает движение тел вне зависимости от причин, вызывающих это движение.

Динамика изучает з-ное движение тел и причины, которые вызывают или изменяют это движение.

Статика изучает з-ное равновесие систем тел. Под м/т. понимается тело, размерами и формой, которые можно пренебречь в данной задаче.

Различают три вида механического движения тел — поступательное, вращательное и колебательное.

Поступательное движение — это движение, при котором в любое время, тесно связанное с движением тел, остаются параллельными своему первоначальному положению. При вращательном движении все точки тела движутся по окружностям, центром

которых лежит на одной и той же прямой, называемой осью вращения. Колебательное движение называется процессом, при котором система, временно отклонившись от своего состояния равновесия, под действием возвращающихся к нему.

Динамика — раздел механики, который изучает движение совместно с причинами, вызывающими или изменяющими это движение. В основе динамики лежит третий закон Ньютона.

Первый з-н Ньютона (з-н инерции): всякое м/т (тело) сохраняет состояние покоя или равномерного прямолинейного движения до тех пор, пока воздействие со стороны других тел не заставит его изменить это состояние.

Второй з-н Ньютона: Ускорение a , приобретаемое телом под действием силы F , прямо пропорционально этой силе и обратно пропорционально массе и направлено в сторону действия силы.

$$a = \frac{F}{m}$$

Третий з-н Ньютона (з-н действия и противодействия): два взаимодействующих тела действуют друг на друга с силами равными по значению и противоположными по направлению.

$$F_1 = -F_2$$

Момент инерции.

Момент инерции м/т относительно какой-либо оси называется произведение массы этой точки на квадрат расстояния от ее оси:

$$J = m r^2$$

Момент инерции системы (тела) относительно данной оси называется суммой произведений масс n м/т системы на квадраты расстояний до рассматриваемой оси:

$$J = \sum_{i=1}^n m_i r_i^2$$

В случае ~~не~~ непрерывного распределения масс эта сумма сводится к интегралу.

$$J = \int r^2 dm,$$

где интегрирование производится по всему объему тела. Величина r в этом случае есть функция положения точки с координатами x, y, z .

Если известен момент инерции тела относительно оси, проходящей $1/3$ его центр масс, то момент инерции относительно любой другой параллельной оси определяется теоремой Штейнера: момент инерции тела J относительно произвольной оси равен моменту J_c инерции J_c относительно параллельной оси, проходящей через центр масс тела, сложенному с произведением масс m тела на квадрат расстояния a между осями:

$$J = J_c + ma^2$$

Решение:

Исследуемое тело	Время десяти колебаний, t, c	T, c	J_1 к.м.м ²	J к.м.м ²	J_T к.м.м ²	$\frac{J-J_T}{J_T} \cdot 100\%$
Цилиндр	$t_1 = 33,35$	3,23	$7,5 \cdot 10^{-3}$	$7,335 \cdot 10^{-3}$	$5,97329 \cdot 10^{-3}$	33,18
	$t_2 = 31,41$					
	$t_3 = 31,64$					
	$t_{cp} = 32,3$					
Шар	$t_1 = 12,88$	1,33	$1,97 \cdot 10^{-3}$	$1,720 \cdot 10^{-3}$	$1,39076 \cdot 10^{-3}$	93,35
	$t_2 = 13,25$					
	$t_3 = 13,85$					
	$t_{cp} = 13,31$					

$$t_{cp.ш.} = \frac{12,88 + 13,25 + 13,85}{3} = 13,3$$

$$t_{cp.ц.} = \frac{33,85 + 31,41 + 31,64}{3} = 32,3$$

$$T_{ш.} = \frac{13,3}{10} = 1,33$$

$$T_{ц.} = \frac{32,3}{10} = 3,23$$

$$J_{ц.} = \frac{J_1 \cdot m g a}{4 \pi^2} = \frac{(32,3)^2 \cdot 2,568 \cdot 10 \cdot 1,118 \cdot 10^{-3}}{4 \cdot 3,14^2} = 7,5 \cdot 10^{-3}$$

$$J_{ш.} = \frac{J_ш \cdot m g a}{4 \pi^2} = \frac{1,33^2 \cdot 1,498 \cdot 10 \cdot 2,932}{4 \cdot 3,14^2} = 1,97 \cdot 10^{-3}$$

группа Лабораторная работа №10

Определение характеристик затухания камертона.

Цель работы: изучить затухающие колебания и определить основные параметры затухания камертона.

Приборы и принадлежности: камертон, укрепленный неподвижно на подставке, индикатор колебаний — электронный осциллограф, секундомер, резиновый молоток, пороховой демпфер.

Теория:

Колебаниями называются процессы, в той или иной степени повторяющиеся во времени. При периодических колебаниях изменение наблюдаемой величины в точности повторяется n/z совершенно определенных времени-периодов. Они описываются периодической функцией времени.

$$f(t+nT) = f(t),$$

где T — период функции, n — произвольное целое число. Система, выведенная из ~~состояния~~ положения равновесия и предоставленная самой себе, совершает свободные (или собственные) колебания. Если при этом энергия системы не изменяется, то ее колебания будут собственными незатухающими. Колебания, совершаемые системой под воздействием внешней периодически изменяющейся силы, называются вынужденными.

Среди разнообразных колебаний, встречающихся в природе, особенно важную роль играют гармонические колебания (рис. 1) представляют периодический процесс в котором изменение наблюдаемой величины описывается функцией синуса (или косинуса):

$$X = A \sin(\omega t + \varphi) \text{ или } X = A \cos(\omega t + \varphi), \varphi' = \varphi + \pi$$

Здесь отклонение (смещение) механической системы от положения равновесия. Наибольшее смещение A называется амплитудой колебаний. Аргумент синуса или косинуса $(\omega t + \varphi)$ определяет смещение в любой момент времени и называется фазой колебаний; φ — начальная фаза (в момент $t=0$ Величина ω , равная числу колебаний за 2π единиц времени, называется циклической (или круговой) частотой. Она в 2π раз больше обычной частоты ν .

$$\omega = 2\pi\nu, \text{ или } \omega = \frac{2\pi}{T}, \text{ рад } \cdot \text{с}^{-1}$$

Амплитуда A и начальная фаза φ определяются начальными условиями, т.е. смещением X_0 и скоростью V_0 в момент времени $t=0$.

Описание метода и приборов.

В данной работе предполагается по времени отсчета изменение амплитуды колебаний камертона известной частоты определить основные характеристики его затухания: коэффициент затухания β , время релаксации τ , логарифмический декремент затухания λ и добротность Q .

Степень убывания амплитуды затухающих колебаний определяется коэффициентом затухания β .

$$A(t) = A_0 e^{-\beta t}, \quad (1)$$

где A_0 — амплитуда колебаний в начале отсчета времени или $t=0$.

Время релаксации τ характеризует время между колебаниями. За время τ амплитуда уменьшается в $e \approx 2,72$ раза.

$$\tau = \frac{1}{\beta} \quad (2)$$

амплитуда уменьшается в $e \approx 2,72$ раза.

Скорость уменьшения амплитуды характеризуется логарифмическим декрементом затухания

$$\lambda = \beta T, \quad (3)$$

где T - период колебаний.

Если известна частота колебаний камертона ν , то период колебаний

$$T = \frac{1}{\nu} \quad (4)$$

Добротность колебательной системы характеризует скорость уменьшения энергии и может быть выражена формулой

$$Q = \frac{\pi}{\lambda} \quad (5)$$

Если решить уравнение (1) относительно β , то получим

$$\beta = \frac{1}{t} \ln \frac{A}{A(t)} \quad (6)$$

Пусть амплитуда колебаний за время t убывает в два раза. Тогда

$$\beta = \frac{\ln 2}{t} = \frac{0,693}{t} \quad (6a)$$

Зная для определения β достаточно измерить время, в течение которого амплитуда колебаний убывает вдвое.

Измерение амплитуд колебаний камертона в данной работе производится с помощью электронно-лучевой индикатора (осциллографа). На рисунке приведена схема установки, где приняты следующие условные обозначения: 1 - камертон, 2 - датчик, 3 - осциллограф. Датчик

представляет собой катушку с большим числом витков, которая намотана на резонансный сердечник из трансформаторного железа. Концы обмотки подключаются к вход усилителя осциллографа.

Витки камертона слабо намагничены. Если его заставить колебаться, то магнитный поток, проходящий через датчик, становится переменным, вследствие чего в обмотках датчика возникает ЭДС индукции, частота и амплитуда которой соответствует частоте и амплитуде колебаний камертона. Переменное синусоидальное напряжение увеличивается усилителем осциллографа и подается на вертикальную отклоняющую пластину электронно-лучевой трубки. Осциллограмма является в действительности, т.е. изменение амплитуды ЭДС передается без искажений. Таким образом, на экране осциллографа наблюдаются затухающие колебания, соответствующие колебаниям камертона.

Ход работы:

$$T = \frac{1}{\nu} = \frac{1}{340 \text{ Гц}} = 0,003 \text{ с} \quad \bar{t} = \frac{t_1 + t_2 + t_3}{3} = \frac{13,1 \text{ с} + 13,24 \text{ с} + 13,91 \text{ с}}{3} = 13,42 \text{ с}$$

$$\nu = 340 \text{ Гц}$$

$$\beta = \frac{\ln 2}{t} = \frac{0,693}{13,42 \text{ с}} = 0,0516 \frac{1}{\text{с}}$$

$$\bar{T} = \frac{1}{\beta} = \frac{1}{0,0516 \frac{1}{\text{с}}} = 19,3798 \text{ с}$$

$$\lambda = \beta \cdot T = 0,0516 \frac{1}{\text{с}} \cdot 0,003 \text{ Гц} = 0,00015 \frac{\text{Гц}}{\text{с}}$$

$$Q = \frac{\pi}{\lambda} = \frac{3,14}{0,00015 \frac{\text{Гц}}{\text{с}}} = 20933,33 \frac{\text{с}}{\text{Гц}}$$

Согласно первому началу термодинамики, при-во теплота dQ , переданная сист., затрачивается на увеличение её внутренней энергии $dU_{ин}$ и на работу расширения dA , совершаемую системой против внешних сил. Поскольку $dA = p dV_{ин}$ зависит от вида термодинамического процесса и только $U_{ин}$ является функцией состояния сист., dQ , а значит и теплоемкость C , также зависят от вида процесса.

В случае нагревания газа при постоянном объеме (изохорический процесс) сообщаемое ему тепло целиком идет на увеличение внутренней энергии газа, так как при неизменном объеме ($dV_{ин} = 0$) внешняя работа не совершается. Теплоемкость в этом процессе назыв. теплоемкостью C_v при постоянном объеме и может быть найдена из ур-н (2) и (4):

$$C_v = \frac{dQ_v}{dT} = \frac{dU_{ин}}{dT} \quad (5)$$

Здесь индекс v означает изохорический процесс.

Если газ нагревать при постоянном давлении (изобарический процесс), то $U_{ин}$ не только его внутр. энергия, но, расширяясь, газ совершает еще работу против сил внешнего давления. Теплоемкость в таком процессе, очевидно, больше теплоемкости при постоянном объеме, и она назыв. теплоемкостью при постоянном давлении:

$$C_p = \frac{dQ_p}{dT} = \frac{dU_{ин}}{dT} + \frac{p dV_{ин}}{dT} \quad (6)$$

Из ур-я (5) при постоянном давлении имеем

$$p dV_{ин} = p dT \quad (7)$$

Подставив (7) в ур-е (6) с учетом (5), получим ур-е Майера:

$$C_p = C_v + R \quad (8)$$

Следовательно, разность молярных теплоемкостей C_p численно равна работе расширения одного моля идеального газа при нагревании его на один градус Кельвина при постоянном давлении. В этом утверждении заложена физическая суть молярной газовой постоянной R .

Для идеального газа разность теплоемкостей C_p и C_v можно вывести теоретически. Внутренняя энергия одного моля идеального газа зависит от числа степеней свободы i молекулы и температуры T :

$$U_{ин} = \frac{i}{2} R T \quad (9)$$

Отсюда

$$C_v = \frac{dU_{ин}}{dT} = \frac{i}{2} R \quad (10)$$

$$C_p = C_v + R = \frac{i+2}{2} R \quad (11)$$

В ряде практических и теоретических вопросов физики большое значение имеет отношение теплоемкостей:

$$\gamma = \frac{C_p}{C_v} = \frac{i+2}{i} \quad (12)$$

В частности, для идеальных газов так называемый коэффициент γ входит в ур-е Пуассона:

$$p V^\gamma = \text{const} \quad (13)$$

Адиабатический процесс совершается без теплообмена с окружающей средой, поэтому для его осуществления систему теплоизолируют или ведут процесс так быстро, чтобы теплообмена не успели произойти. При адиабатическом сжатии идеального газа температура его повышается, а при расширении понижается.

N	Положения микрометра			n ₁	Положения микрометра			h ₂	p ₁	p̄
	шп. 1-я	шп. 2-я	шп. 3-я		шп. 1-я	шп. 2-я	шп. 3-я			
1	14	-14		29	3	-2		5	1,2	1,206
2	14	-13		27	3	-1		4	1,17	
3	14	-12		25	3	-2		3	1,25	

$$\Delta p_1 = 1,2 - 1,2006 = 0,006$$

$$\Delta p_2 = 1,17 - 1,206 = -0,036$$

$$\Delta p_3 = 1,25 - 1,206 = 0,044$$

$$S_p = \sqrt{\frac{\sum (\Delta p)^2}{(n-1)}}; S_p = \sqrt{\frac{0,006^2 + 0,036^2 + 0,044^2}{6}}$$

$$= 0,0245$$

$$p = 0,995; n = 3; t = 4,3$$

$$\Delta p = t \cdot S_{p1} \cdot S_p$$

$$\Delta p \cdot S_p = 4,3 \cdot 0,10535$$

$$\varepsilon = \frac{\Delta p}{p} \cdot 100\%$$

$$\varepsilon = \frac{0,10535}{1,206} \cdot 100\% = 8,74\%$$

Лабораторная работа Б.11.1

Изучение образования стоячих волн в натянутой струне.

Цель работы: изучить образование стоячих волн в натянутой струне и определить её линейную плотность.

Прибор и принадлежности: однородная струна с возбуждением колебаний и подвеской, генератор гармонических колебаний ЗГ-10, набор разновесов (нагрузок).

Теория:

В натянутой струне с закрепленными концами при возбуждении поперечных колебаний возникают стоячие волны. В местах закрепления струны образуются узлы. В струне с достаточно большой линейной плотностью возбуждаются только такие колебания, половина длины волны которых укладывается на длине струны целое число раз λ . Следовательно, условие образования стоячих волн имеет вид

$$l = n \frac{\lambda}{2} \quad (n = 1, 2, 3 \dots) \quad (1)$$

или

$$\lambda_n = \frac{2l}{n}, \text{ где } l - \text{длина струны.}$$

Длина волны λ_n соответствует собственной частоте колебаний

$$\lambda_n = \frac{V}{\nu} = \frac{V}{\nu_n} \cdot n \quad (2)$$

где V - скорость распространения волн в струне.

Собственная частота колебаний кратна основной частоте (или тону): $\nu_n = V / \lambda_n$. Частоты, соответствующие $n = 2, 3, \dots$, называются обертонами.

Скорость распространения волн V вдоль струны зависит от её силы натяжения F и линейной плотности

материала струны ρ (линейная плотность струны численно равна массе металла, приходящейся на единицу длины этой струны $\rho = dm/dl$, где dm — масса элемента струны длиной dl):

$$v = \sqrt{\frac{F}{\rho}}$$

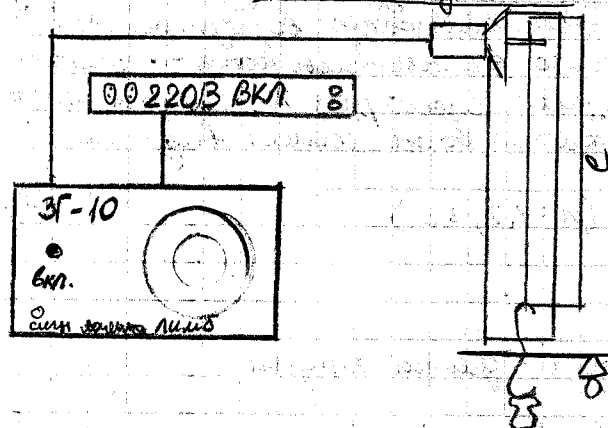
Подставив полученное выражение в формулу (2), получим

$$v_n = \frac{n}{2l} \sqrt{\frac{F}{\rho}} \quad (3)$$

Из этой ур-я можно выразить линейную плотность струны:

$$\rho = \frac{n^2 F}{4 v_n^2 l^2} \quad (4)$$

Описание установки



На вертикальной стойке с подвижной катушкой стальная струна. Верхний конец её прикреплен к осциллографу, колебание кат. возбуждается с помощью звукового генератора ЗГ-10, кинемат. к рычагу, имеющему возможность вращаться вокруг оси О. Кроме того, к этому концу может быть подвешен груз, предназначенный для измерения натяжения нити F . Частота колебаний осциллографа задается звуковым генератором и отсчитывается по круговой шкале прибора.

N	m, кг	$v_{n1}, \text{Гц}$ (n=1)	$v_{n2}, \text{Гц}$ (n=2)	$v_{n3}, \text{Гц}$ (n=3)	$\bar{\rho}, \frac{\text{кг}}{\text{м}}$
1	0,5	28	56	86	
2		27,5	58	86	
3		28	57	88	
средн.		$\bar{v}_{n1} = 27,8$	$\bar{v}_{n2} = 56,3$	$\bar{v}_{n3} = 86,7$	
1	1	37	74	116	
2		43	76	116	
3		39	76	118	
средн.		$\bar{v}_{n1} = 39,7$	$\bar{v}_{n2} = 75,3$	$\bar{v}_{n3} = 116,7$	
1	1,5	44	90	140	
2		46	92	144	
3		45	94	148	
средн.		$\bar{v}_{n1} = 45$	$\bar{v}_{n2} = 92$	$\bar{v}_{n3} = 144$	

$$\rho = \frac{9 \cdot 1,5 \cdot 10}{4 \cdot 144 \cdot 1,81^2} = \frac{135}{1887} = 0,0715$$

$$\varepsilon = \frac{\Delta \rho}{\rho} = \sqrt{\left(\frac{\Delta F}{F}\right)^2 + 2 \left(\frac{\Delta v}{v}\right)^2 + 2 \left(\frac{\Delta l}{l}\right)^2} = \sqrt{\left(\frac{0,001}{15}\right)^2 + 2 \cdot \left(\frac{5}{144}\right)^2 + 2 \cdot \left(\frac{0,005}{1,81}\right)^2} = \sqrt{0,000036 + 2 \cdot 0,0012 + 2 \cdot 7,631} = 3,907$$

$$\Delta \rho = \varepsilon \cdot \bar{\rho} = 3,907 \cdot 144 = 562,608$$

$$\varepsilon = \frac{\Delta \rho}{\bar{\rho}} = \frac{562,608}{144}$$

Лабораторная работа 208.

Углубленная термометрия

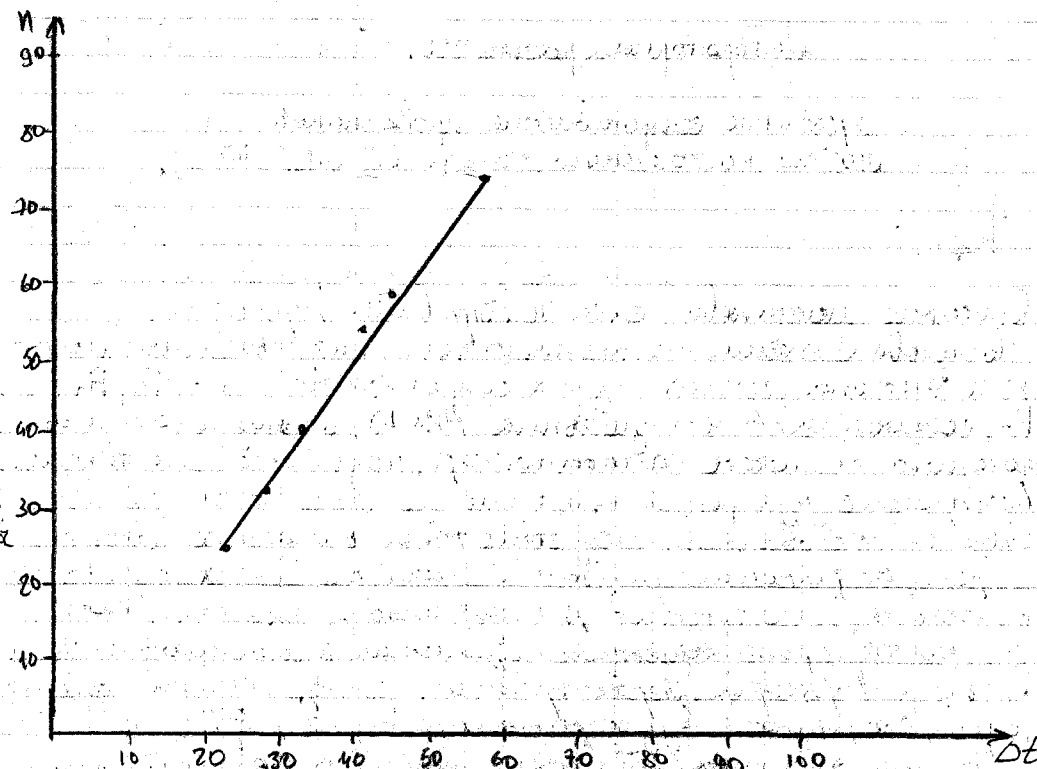
Цель работы: градуировать термометр.

Теория:

Работа выхода электрона из металла. Электропроводность в металле находится в беспорядочном тепловом движении. Наиболее быстро движущиеся электроны, обладающие достаточно большой кинетической энергией, могут вырваться из металла в окружающее пространство. При этом они совершают работу как против сил притяжения со стороны избыточной положительной зарядки, возникающей в металле в результате их вылета, так и против сил отталкивания со стороны ранее вылетавших электронов, образующих вблизи поверхности проводника отрицательный заряд. В электростатическом поле вылета и металла существует динамическое равновесие.

Работу, которую нужно совершить для удаления электрона из металла в безвоздушное пространство, назыв. работой выхода. Работа выхода совершается электронами за счет кинетической энергии. Поэтому понятно, что медленно движущиеся электроны вырваться из металла не могут.

Недостаток электронов в металлическом проводнике и их избыток в окружающем пространстве, образовавшиеся в результате вылета части электронов из металлов, проявляются только в очень тонком слое по обе стороны от поверхности проводника. Толщина этого слоя зависит от расстояния от поверхности до металла.



N	$t_0, ^\circ\text{C}$	$t_i, ^\circ\text{C}$	$\Delta T_i = (t_i - t_0), ^\circ\text{C}$	n делений
1	23	80	57	74,5
2	23	68	45	58
3	23	64	41	59
4	23	56	33	41
5	23	51	28	33
6	23	46	23	25

Лабораторные работы 226.

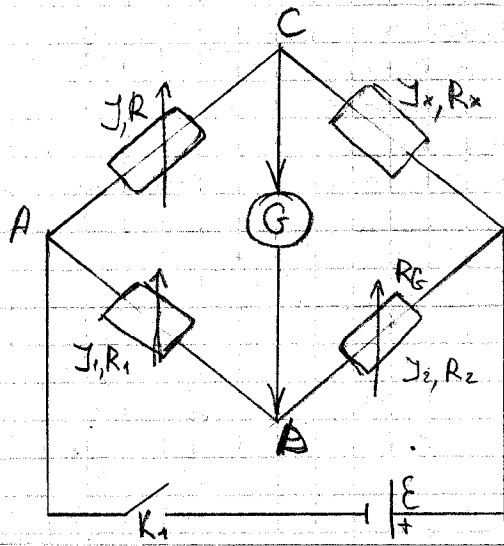
Определение сопротивления проводников
методом постоянного тока типа МВЛ-47

Теория:

1. Описание мостиковой схемы. Правила Кирхгофа.

Мостиковая схема постоянного тока, называемая мостиком Уитстона, состоит из 4-х сопротивлений R_x, R, R_1, R_2 , соединенных в 4-х узлах ABCD, в одну диагональ которого включен гальванометр, называемая мостиком. Весь процесс измерений при помощи мостиковой схемы связан с требованием отсутствия тока в мостике, отсюда и распространение названия мост на всю схему. Если в мостике ток отсутствует, то мостиковая схема (мост) считается уравновешенной. Применяя к мостиковой схеме правила Кирхгофа. Первое правило: алгебраическая сумма токов, сходящихся в узле равна нулю, т.е. $\sum I_k = 0$

Узелом электрической схемы принято называть точку схемы, в которой сходится более чем два проводника. В мостиковой схеме контуры: A, C, D и B. При записи первого правила Кирхгофа придерживаются следующего правила знаков: ток, текущий к узлу имеет знак плюс, а ток, текущий от узла, имеет знак минус.



Первое правило Кирхгофа для узла C:

$$I_x - I - I_G = 0$$

или

$$I_x = I$$

(1)

если мост уравновешен ($I_G = 0$)

Первое правило Кирхгофа для узла D: $I_2 - I_1 - I_G = 0$

$$\text{или } I_2 = I_1 \text{ если } I_G = 0$$

(2)

При записи второго з-на Кирхгофа придерживаются следующего правила знаков: ток, текущий вдоль выбранного направления обхода в контуре (по часовой стрелке, против часовой стрелки), имеет знак плюс; а ток, текущий против направления обхода, имеет знак минус. Соответственно этому ЭДС, которые действуют по выбранному направлению обхода в контуре, считаются положительными, а против направления обхода отрицательными. При этом за направление действия ЭДС источника тока в контуре принимается направление от положительного полюса. Второе правило Кирхгофа для контура BCDB (обход в контуре против часовой стрелки):

$$I_x R_x + I_G R_G - I_2 R_2 = 0$$

или

$$I_x R_x = + I_2 R_2 \text{ если } I_G = 0$$

(3)

Второе правило Кирхгофа для контура CADC:

$$I R - I_1 R_1 - I_G R_G = 0$$

или

$$I R = + I_1 R_1 \text{ если } I_G = 0$$

(4)

Деление равенства (3) на (4) с учетом равенства (1) и (2), дает следующее соотношение м/у сопротивлениями уравновешенного моста, составленного из тех называемых плечей моста

$$\frac{R_x}{R} = \frac{R_2}{R_1} \quad (5)$$

Соотношение (5), являющееся условием равновесия моста, позволяет определить любое из четырех сопротивлений, включенных в мост, если известны три других сопротивления. Например:

$$R_x = R \frac{R_2}{R_1} \quad (6)$$

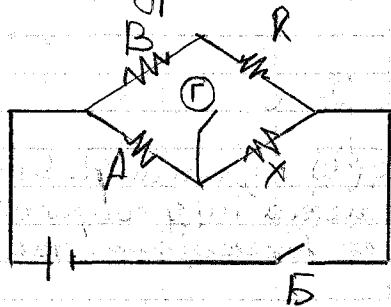
Описание прибора

Мост постоянного тока типа МВМ-47 представляет собой измерительный прибор, который в принципе ничем не отличается от моста Уитстона. Принципиальная схема моста состоит из 4-х сопротивлений: А, Х, В и R. Сопротивления А и В составляют так называемое "плечо отклонения" моста, а сопротивление R - "плечо сравнения". В противоположном вершине схемы включается: источник тока Б и гальванометр Г - указатель равновесия моста. Условием равновесия моста (условием отсутствия тока в гальванометре) служит выполнение следующего равенства:

$$\frac{A}{B} = \frac{X}{R} \quad (7)$$

$$\text{или } X = \frac{A}{B} \cdot R$$

то позволяет определить одно из 4-х сопротивлений, если известны 3 др-х.



На лицевой панели прибора, электрическая схема которого изображена на рис. 2, симметрирована:

1. Четыре декадных переключателя роторного типа, образующие "плечо сравнения" моста. На четырех переключателях (под панелью) установлено по 9 катушек, каждая сопротивлением 1, 10, 100, 1000 Ом на первом переключателе - 10 спиралей, сопротивлением 0,1 Ом каждая.
2. Контактные пластины и 10 контактов, на которых (под панелью) установлены два комплекта катушек сопротивлением 1, 10, 100, 1000, 10000 Ом, образующие "плечо отклонения" моста А и В.
3. Кнопки Б и Г - для включения источника тока (Б) и гальванометра (Г).
4. Замкнутый "Х" - для подключения измеренного сопротивления.
5. Замкнутый "Г" - для подключения гальванометра.
6. Замкнутый "Б" - для подключения источника тока.

№ измерен.	Обозначение сопротивлений	A Ом	B Ом	R Ом	X Ом
1	X ₁	100	1000	8861	
2	X ₂				
3	Последовательное соединение X'				
4	Параллельное соединение X''				

Лабораторная работа № 220.

Определение отношения $\frac{e}{m}$ электрона методом магнитного отклонения

При накаливании металла, находящегося в слабом электрическом поле, можно наблюдать поток отрицательного электричества, источником которого является поверхность металла. Если металл не накаливается, то поток возникает под воздействием сильного ЭП-поля (10^6 В/см), а из него могут быть вырваны отрицательные заряды. Этот ток представляет собой поток электронов, каждый из которых несет отрицательный заряд, равный $1,6 \cdot 10^{-19}$ Кл.

При помощи ряда методов было доказано, что электроны обладают массой и тем же отношением заряда к массе, если скорости их не слишком велики. Измерение этого отношения при больших скоростях осуществляется релятивистским измерением массы.

$$m = m_0 / \sqrt{1 - \beta^2}, \quad (1)$$

где m — масса покая частицы; $\beta = \frac{v}{c}$ (v — скорость частицы, c — скорость света в вакууме).

Масса электрона настолько мала, что непосредственное измерение ее представляет большие трудности. Существует косвенная методика определения массы электрона. Если известен заряд электрона и если мы можем измерить отношение заряда к массе, то можно найти и массу электрона. Во многих физических явлениях отношение заряда частицы к ее массе q/m имеет большое значение, чем сами заряд и масса. Отношение q/m называют коэффициентом удельного заряда частицы. Эту величину можно непосредственно определить, если знать заряд и массу электрона в отдельности.

Описание установки:

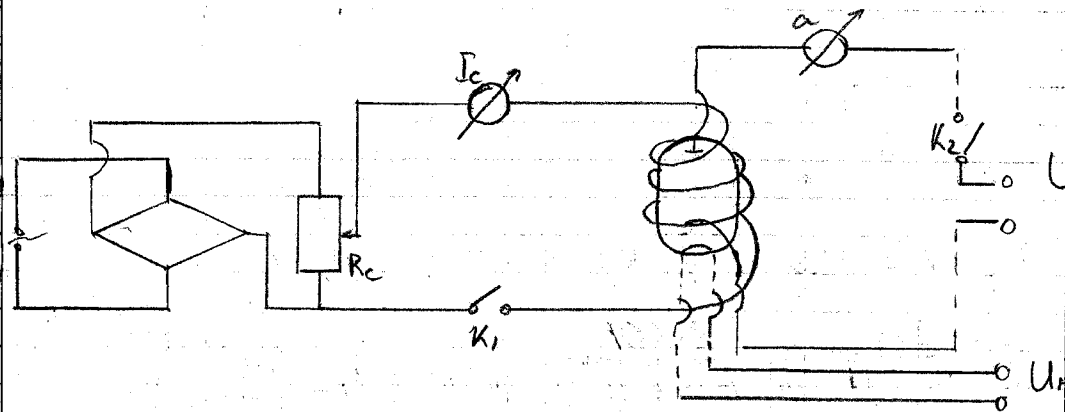
В данной работе для определения удельного заряда электрона используется в качестве магнетрона диод 2Ц2С (келотрон). У диода 2Ц2С радиус катода $a = 0,9$ мм $= 9 \cdot 10^{-4}$ м, радиус анода $b = 0,96$ см $= 96 \cdot 10^{-4}$ м. Диод помещается внутри соленоида L , имеющего 3450 витков медного провода диаметром 1 мм. Соединения анода и катода совпадают с осью соленоида. Соленоид включается в цепь постоянного тока.

Величина тока в соленоиде регулируется потенциометром R_c и регистрируется миллиамперметром I_c .

Величину индукции магнитного поля соленоида можно вычислить по формуле:

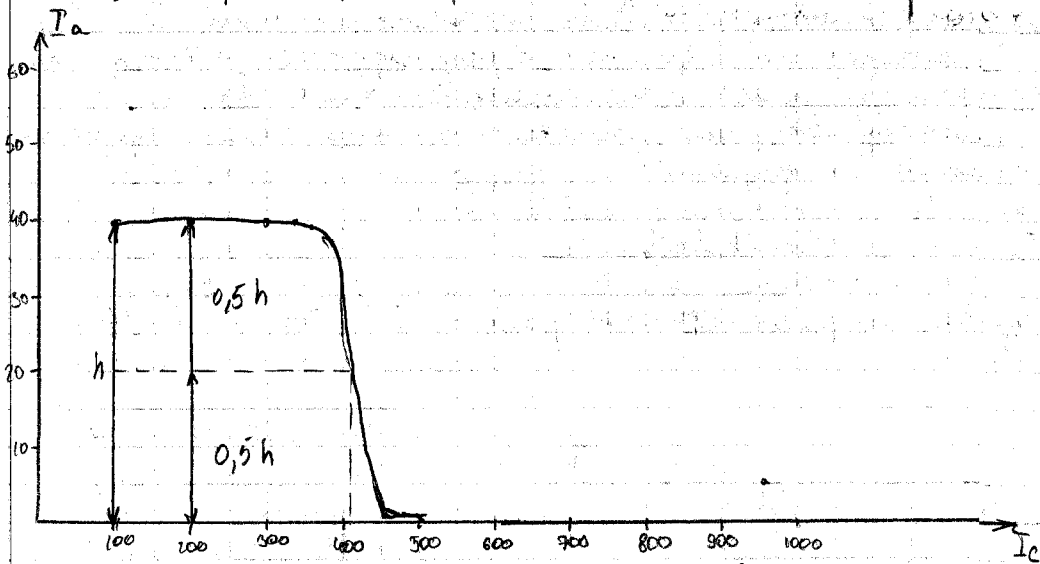
$$B = k I_c,$$

где k — коэффициент, величина которого равна: $k = 1,38 \cdot 10^{-2}$ Тл/А



Из схемы очевидно, что установка состоит из трех электрических цепей: 1 — цепь соленоида, 2 — цепь катода (U_k), 3 — цепь анода (U_a). Питание всех цепей производится от одного источника питания.

$I_c (\mu A)$	100	200	300	340	360	380	400	420	440
$I_a (\mu A)$	40	40	40	40	39	37	31	20	8
$I (\mu A)$	460	480	500	600	700	800	1000		
I_{ges}	1,2	1	1	0,8	0,6	0,5			



$$B_{cp} = K \cdot I_c = 1,38 \cdot 10^{-2} \frac{T}{A} \cdot 420 \cdot 10^{-3} A = 579,6 \cdot 10^{-5} T$$

$$\frac{e}{m} = \frac{8U_a}{B_{cp}^2 \cdot b^2 \left(1 - \frac{a^2}{b^2}\right)} = \frac{8 \cdot 60B}{(579,6 \cdot 10^{-5})^2 \cdot (96 \cdot 10^{-9})^2 \left(1 - \frac{(9 \cdot 10^{-9})^2}{(96 \cdot 10^{-9})^2}\right)} =$$

$$= \frac{480B}{335,94 \cdot 10^{-5} \cdot 10^{-10} \cdot 9,2 \cdot 10^{-8} \cdot 10^{-8} \left(1 - \frac{81 \cdot 10^{-18}}{9210 \cdot 10^{-18}}\right)} =$$

$$= \frac{480B}{3,359 \cdot 10^{-5} \cdot 10^{-10} \left(1 - \frac{81}{9210}\right)} = \frac{480B}{3,33 \cdot 10^{-10}} = \frac{144B}{10^{-10}} = 1,44 \cdot 10^{10}$$

$$\frac{e}{m} = \frac{8U_a}{B^2 \cdot b^2 \left(1 - \frac{a^2}{b^2}\right)} = \frac{8 \cdot 60B}{(5,79)^2 \cdot 10^{-10} \cdot 96^2 \cdot 10^{-8} \left(1 - \frac{81 \cdot 10^{-18}}{96^2 \cdot 10^{-18}}\right)} =$$

$$= \frac{480B}{33,52 \cdot 10^{-10} \cdot 9,216 \cdot 10^{-8} \cdot 10^{-8} \left(1 - \frac{81}{9216}\right)} = \frac{480B}{308,92 \cdot 10^{-15}} =$$

$$= \frac{480B}{306,14 \cdot 10^{-15} T \cdot m^2} = \frac{480B}{3,06 \cdot 10^{-13} T \cdot m^2} = 1,56 \cdot 10^{11} \frac{B}{T \cdot m}$$

[Handwritten signature]

Лабораторная работа 108.

Определение коэффициента
восстановления и времени
создания упругих шаров.

При центральном абсолютно упругом ударе относительная скорость шаров меняет свое направление на противоположное, оставаясь неизменной по величине. В момент столкновения шары деформируются, затем разлетаются в противоположные стороны, деформация исчезает, т.е. кинетическая энергия шаров не расходуется на деформацию и остается неизменной по величине.

Вспомогательное, когда удар шаров неупругий, часть кинетической энергии шаров переходит в энергию их остаточной деформации.

Тогда:

$$\frac{m_1 v_1^2}{2} + \frac{m_2 v_2^2}{2} = \frac{m_1 u_1^2}{2} + \frac{m_2 u_2^2}{2} + \Delta W$$

$$m_1 v_1^2 + m_2 v_2^2 > m_1 u_1^2 + m_2 u_2^2 \text{ и } v_1 - v_2 > -(u_1 - u_2)$$

При неупругом ударе шаров относительная скорость их меняет свое направление на противоположное, уменьшаясь по абсолютной величине. Взяв модуль относительной скорости, можно записать: $|v_1 - v_2| > |u_1 - u_2|$

Для количественной оценки уменьшения относительной скорости шаров вводится коэффициент восстановления:

$$K = \frac{|v_1 - v_2|}{|u_1 - u_2|}$$

Вспомогательное можно считать K зависящим от материала шаров; посредством K можно характеризовать упругие св-ва материала. Для реальных тел всегда $K < 1$.

Время создания τ зависит от относительной скорости шаров, их массы, упругих свойств материала и т.д.

Если шары соединить в электрическую цепь и подать на них напряжение, то за время их создания в цепи возникает электрический ток. Время создания шаров τ может быть связано со временем длительности возникающего электрического импульса. Если включить в цепь электронный осциллограф и подать на один из его входов возникающий импульс при создании шаров, то на экране осциллографа можно наблюдать данную импульсную картину. Пользуясь шкалой моток осциллографа и зная цену деления каждой метки τ по времени, можно по числу меток z на импульсе определить длительность импульса T шаров: $\tau = z \cdot T$.

Зная время создания шаров, можно рассчитать среднюю силу упругого удара.

На основании второго закона Ньютона: $\vec{F}_y \Delta t = m \Delta \vec{v}$, где \vec{F}_y — сила упругого удара, действующая на шар.

Описание установки

На установке два стальных шара расположены на металлических бифилярных подвесах. Шары удерживаются в отклоненном положении двумя электромагнитами ЭМ1 и ЭМ2, которые могут перемещаться. Угол отклонения шаров от вертикали по шкале в градусах. Общее питание установки включается тумблером K_1 , питание электромагнитов включается тумблером K_2 , при включении K_2 ток в цепи электромагнитов включается, шары освобождаются и начинают двигаться друг к другу. При создании шаров замыкается электрическая цепь, в которую они включены. Поэтому время создания шаров будет равно длительности электрического импульса, возникающего при их взаимодействии. Напряжение импульса с сопротивлением R_z подается на вход осциллографа. Длительность электрического импульса определяется по экрану осциллографа, работающего в режиме, с учетом калибровки осциллографа по шкале моток электронного осциллографа.

№оп	Nсигг	L ₀	α _и	\bar{k}	τ _{и,с}	W, Дж	F, Н
1	10	25	19	0,99	10 ⁻⁴	0,14 · 10 ⁻²	2895
2	10	25	20	0,99	10 ⁻⁴	0,14 · 10 ⁻²	2895
3	10	25	20	0,99	10 ⁻⁴	0,14 · 10 ⁻²	2895

Лабораторная работа №232

Определение диэлектрической проницаемости
плёнки методом двухпроводной линии.

Цель работы: а) ознакомиться с основами теории
Максвелла, свойствами электромагнитных
волн и механизмом распространения
электромагнитных волн в двухпроводной
линии;
б) измерить диэлектрическую проницаемость
кварцевого материала.

Теория

Переменное электрическое поле обуславливает возникновение магнитного поля, а переменное магнитное поле — возникновение вихревого электрического поля. Таким образом, переменные электрические и магнитные поля тесно взаимосвязаны, они образуют единое электромагнитное поле. Связь между характеристиками электромагнитного поля определяется системой уравнений Максвелла:

$$\oint \vec{E} d\vec{l} = -\frac{\partial}{\partial t} \int \vec{B}_n \cdot d\vec{S} \quad (1)$$

$$\oint \vec{H} d\vec{l} = \sum I_i + \frac{\partial}{\partial t} \int \vec{D}_n \cdot d\vec{S} \quad (2)$$

$$\oint \vec{D}_n d\vec{S} = \sum q_i \quad (3)$$

$$\oint \vec{B}_n d\vec{S} = 0 \quad (4)$$

дополняемой так называемыми уравнениями связи:

$$\vec{D} = \epsilon \epsilon_0 \vec{E} \quad (5)$$

$$\vec{B} = \mu \mu_0 \vec{H} \quad (6)$$

$$\vec{J} = \sigma \vec{E} \quad (7)$$

которые содержат характеристики вещества: электрическую ϵ и магнитную μ проницаемости и проводимость σ .

Первое уравнение представляет обобщение закона электромагнитной индукции на случай любого, не обязательно проводящего контура и читается так: циркуляция вектора напряженности электрического поля E по произвольному замкнутому контуру L равна взятой с обратным знаком скорости изменения магнитного потока сквозь поверхность, огибающую этот контуром.

Второе уравнение — закон полного тока, записанный с учетом токов смещения. Максвелл предположил, что помимо токов, связанных с упорядоченным движением зарядов, источником магнитного поля является переменное электрическое поле. При этом скорость изменения вектора электрического смещения D в данной точке пространства является плотностью тока смещения, $j_{смещ} = \partial D / \partial t$, а ток смещения сквозь произвольную поверхность может рассматриваться как величина, эквивалентная потоку вектора плотности тока смещения сквозь эту поверхность:

$$I_{смещ} = \int_S j_{смещ} \cdot dS = \frac{\partial}{\partial t} \int_S D_n \cdot dS \quad (8)$$

Второе уравнение Максвелла читается так: циркуляция вектора напряженности H магнитного поля по замкнутому контуру L равна полному току, пронизывающему поверхность этим контуром. Третье уравнение Максвелла выражает теорему Остроградского-Гаусса для электрического поля: поток вектора электрического смещения D сквозь произвольную замкнутую поверхность равен алгебраической сумме электрических зарядов, содержащихся этой поверхностью. Четвертое уравнение выражает теорему Остроградского-Гаусса для магнитного поля: поток вектора магнитной индукции (магнитный поток) сквозь произвольную замкнутую поверхность равен нулю.

Сопоставив первое и второе уравнения, можно сделать вывод, что между электрическими и магнитными полями существует тесная взаимосвязь: изменение

во времени электрического поля вызывает появление магнитного поля, а переменное магнитное поле является источником вихревого электрического поля. Таким образом, если возбудить с помощью колеблющихся зарядов переменное электромагнитное поле, то в окружающем пространстве возникает последовательность взаимных превращений электрического и магнитного полей, распространяющихся от точки к точке. Этот процесс будет периодически повторяться во времени и в пространстве, следовательно, он представляет собой волну.

Электромагнитные волны — волны поперечные. Это означает, что колебания векторов напряженностей электрического E и магнитного H полей происходят перпендикулярно к направлению распространения волны. Более того, векторы E и H взаимно перпендикулярны и колеблются в одной фазе (синфазно).

Электромагнитная волна, как и всякая волновая процесс, характеризуется длиной волны λ , которая равна рассчитанному, пройденному волной за время, равное периоду колебаний T , т.е.

$$\lambda = V \cdot T \quad (9)$$

$$\text{или} \quad \lambda = 2\pi \frac{V}{\omega} = \frac{V}{\omega} \quad (10)$$

где V — скорость распространения волны; ω — круговая или угловая частота; V — частота колебаний.

Из уравнений Максвелла следует, что фазовая скорость электромагнитной волны равна

$$V = \frac{c}{\sqrt{\epsilon \cdot \mu}} \quad (11)$$

где $c = 3 \cdot 10^8$ м/с — скорость света в вакууме.

Электромагнитные волны от одного и того же источника в разнородных средах имеют одинаковую частоту колебаний, но разную скорость и, следовательно, разную длину волны. Из формул (10) и (11) следует, что

$$\lambda = \frac{\lambda_0}{\sqrt{\epsilon \cdot \mu}} \quad (12)$$

где λ - длина волны в данной среде; λ_0 - длина волны в вакууме (воздухе).

В диэлектриках и парамагнетиках $\mu \approx 1$, и

$$\lambda = \frac{\lambda_0}{\sqrt{\epsilon}} \quad (13)$$

Электромагнитные волны излучаются изменяющимися во времени электрическими токами, а также движущимися движущимися зарядами, ускоренные которых отходят от нуля. Если изменение тока или движение заряда происходит по гармоническому закону, то излучаемая электромагнитная волна является монохроматической, и её частота равна частоте колебаний тока или заряда. В устройствах для излучения электромагнитных волн радиодиапазона используются колебания токов или микрозарядов, которые происходят, например, в колебательном контуре Томсона, вибраторе Герца. Колебания электронов в атомах и молекулах дают электромагнитные волны оптического и рентгеновского диапазонов; в процессах внутриядерных колебаний нуклонов излучаются гамма-лучи.

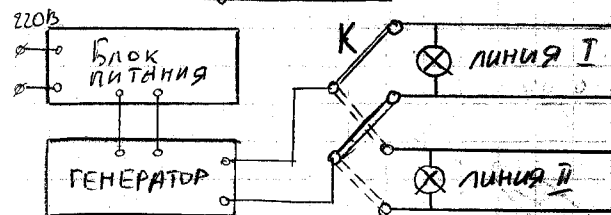
Проводящая среда, например, металл, сильно полагает электромагнитные волны. Поглощение обусловлено наличием свободных носителей заряда, в частности, электронов проводимости. Однако электромагнитные волны могут распространяться в пустоте как диэлектрической среде, окружающей металлические проводники, при этом проводники будут играть роль направляющих. Линейная двухпроводная линия, или система Лекера, состоит из двух параллельных проводов, расстояние между которыми много меньше длины волны. Длина проводов велика по сравнению с длиной волны λ в двухпроводной линии в который момент времени. Наряду с электромагнитной волной, существующей в пространстве около проводов системы Лекера, в самих проводах возникают периодические колебания электронов проводимости около их равновесных

положений, т.е. в проводах линии возникает волновой ток.

Волна, распространяющаяся от источника, называется падающей волной. При наличии отраженной волны в линии возникает стоячая волна, являющаяся результатом интерференции падающей и отраженной волн. Амплитуда стоячей волны меняется вдоль линии от максимальных значений в пучностях до минимальных значений в узлах стоячей волны. В линейной двухпроводной линии в течение стоячей волны возникают пучности узлы как стоячей волны тока, так и стоячей волны напряженностей электрического и магнитного полей. Расстояние между соседними пучностями, так же как и между соседними узлами, равно $\lambda/2$. Линия Лекера может быть использована для измерения диэлектрической проницаемости среды ϵ . В данной работе определяется ϵ касторового масла. Для этого по расстоянию Δl между пучностями напряженности электрического поля определяет ~~волну~~ длину электромагнитной волны в воздухе λ_0 и в касторовом масле λ . Затем, используя формулу (13), находят диэлектрическую проницаемость масла по формуле

$$\epsilon = \left(\frac{\lambda_0}{\lambda} \right)^2 \quad (14)$$

Описание установки



Установка состоит из генератора электромагнитных волн, источника питания и двух линий Лекера. Линия I расположена в воздухе, линия II в ванночке с касторовым маслом. Электромагнитные волны от генератора подаются на ту или иную линию Лекера с помощью переключающей цепи связи, коммутируемой переключателем К. Терминалки, содержащие лампочки накаливания, могут перемещаться вдоль

"длинного" линии и служит для визуального наблюдения искр и уровней напряженности поля в линиях искр напряженности электрического поля линии берет наиболее ярко.

№ измерения	линия I			линия II		
	l_1	l_2	l_3	l_1	l_2	l_3
1	37	86	137	6	10	27
2	38	87	138	7	11	28
3	39	88	139	8	12	29
среднее	$\bar{l}_1 = 38$	$\bar{l}_2 = 87$	$\bar{l}_3 = 138$	$\bar{l}_1 = 7$	$\bar{l}_2 = 11$	$\bar{l}_3 = 28$

Расстояние между напряжениями	линия I	линия II
$\Delta l = l_2 - l_1$	38	14
$\Delta l = \bar{l}_2 - \bar{l}_1$	51	26
$\Delta l = \frac{1}{2}(\Delta l_1 + \Delta l_2)$	44,6	20

$$\epsilon = \left(\frac{\lambda_0}{\lambda} \right)^2 = \left(\frac{\frac{44,6}{2}}{10} \right)^2 = 4,97$$